

## การหาอัตราการแห้งตัวของขันนุด้วยเครื่องอบแห้งอินฟราเรดระบบสูญญากาศ

### Determination of Drying Rate of Jackfruit by Infrared Dryer, Vacuum System

เรวัฒ คำวัน<sup>1\*</sup>, สุรศิริชี เที่ยงจันตา<sup>2</sup> และสวัสดิ์ กีไสย์<sup>3</sup>

Rawat Kumwan<sup>1\*</sup>, Surasit Thiangchanta<sup>2</sup> and Sawat Kesai<sup>3</sup>

<sup>1,2,3</sup>สาขาวิชากรรมเครื่องกล คณะวิศวกรรมศาสตร์ มหาวิทยาลัยเทคโนโลยีราชมงคลล้านนา เชียงใหม่

128 ถ.ห้วยแก้ว ต.ช้างเผือก อ.เมือง จ.เชียงใหม่ 50300 โทรศัพท์ 0 5392 1444 E-mail : rawat-me@rmutl.ac.th

<sup>1,2,3</sup>Mechanical Engineering, Faculty of Engineering, Rajamangala University of Technology Lanna (RMUTL)

Chiang Mai 128 Huay Kaew Rd, Muang District, Chiang Mai, 50300, Thailand

E-mail : rawat-me@rmutl.ac.th, Tel: +66 5392 1444, Fax: +66 5321 3183

#### บทคัดย่อ

บทความนี้ได้ศึกษาสภาพที่เหมาะสมในการอบแห้งขันนุด้วยเครื่องอบแห้งอินฟราเรดระบบสูญญากาศ เพื่อหาอุณหภูมิและระยะห่างระหว่างหลอดอินฟราเรดกับเนื้อขันนุด้วยเครื่องอบแห้งแบบอัตโนมัติ ขนาด  $0.51 \text{ m}$  ยาว  $0.8 \text{ m}$  ฮีตเตอร์อินฟราเรดขนาด  $220 \text{ V} 250 \text{ W}$  จำนวน 2 หลอด เครื่องทำสูญญากาศขนาด  $13.42 \text{ m}^3/\text{hr}$  ติดตั้งชุดดักน้ำโดยใช้ระบบทำความเย็นแบบอัดไอโอดีน ขนาด  $0.252 \text{ kW}$  ทดสอบอบเนื้อขันนุด้วยน้ำหนัก  $2 \text{ kg}$  ที่ความชื้นเริ่มต้น  $350 - 400\%_{\text{db}}$  ทำการอบแห้งที่อุณหภูมิ  $50, 55$  และ  $60$  องศาเซลเซียส ทำการปรับเปลี่ยนความดันสัมบูรณ์  $1, 5, 10$  และ  $15 \text{ kPa}$  และทำการปรับเปลี่ยนระยะห่างระหว่างหลอดฮีตเตอร์อินฟราเรดกับชั้นวางขันนุด้วย  $12, 15$  และ  $18 \text{ cm}$  อบแห้งจนเหลือความชื้นสุดท้ายมีค่าไม่เกิน  $19\%_{\text{db}}$  พบร่วมกับอุณหภูมิ  $50, 55$  และ  $60$  องศาเซลเซียส ความดัน  $1 \text{ kPa}$  ระยะห่างของฮีตเตอร์อินฟราเรดกับชั้นวางที่  $12 \text{ cm}$  ซึ่งใช้เวลาในการอบแห้งน้อยที่สุด  $480$  นาที สิ้นเปลืองพลังงานจำเพาะต่ำที่สุด  $21.67 \text{ MJ/kg}$  และอัตราการอบแห้งที่สูงที่สุด  $0.172 \text{ kg/hr}$  เนื่องจากการทำสูญญากาศที่ความดันต่ำ สามารถลดอุณหภูมิจุดเดือดของน้ำภายในเนื้อขันนุด้วยการลดอุณหภูมิที่ต่ำกว่า  $50^\circ\text{C}$  ให้กำลังของอินฟราเรดต่อพื้นที่สูงมีผลทำให้ความสิ้นเปลืองพลังงานจำเพาะลดลง อัตราการอบแห้งเพิ่มขึ้น

**คำสำคัญ :** ผลของสูญญากาศ, การอบแห้งขันนุด้วยอินฟราเรด

#### Abstract

This paper was to study the optimal conditions for jackfruit drying. By infrared dryer, vacuum system. To find the temperature and the distance between the infrared tubes and the appropriate jackfruit. The dryer consists of diameter  $0.51 \text{ m}$ , length  $0.8 \text{ m}$ . of drying

room, 2 infrared heaters 220 V. 250 W. the vacuum pump work rate  $13.42 \text{ m}^3/\text{hr}$ . And eradication moisture with the Compressor of Refrigeration System size 0.252 kW. The sample for test used jackfruit 2 kg. standard of sample before baking is 350 - 400% of dry basis. Baking sample at 50, 55 and 60 °C. And Change the absolute pressure on 1, 5, 10 kPa and 15 kPa. And Change rang from infrared heater to the jackfruit at 12, 15, and 18 cm. Last moisture will be less than 19% of dry basis. The optimum conditions for jackfruit drying were Drying temperature at 60 °C, 1 kPa, infrared heater distance to 12 cm shelves for minimum drying time of 480 minutes, lowest specific energy consumption of 21.67 MJ/kg, and the highest drying rate was 0.172 kg/hr due to the low pressure vacuum. Can reduce the boiling point of water within the jackfruit. And the distance of the infrared heater to the material near the jackfruit. Higher power consumption per unit of infrared heater. This results in a decrease in specific energy consumption. Increased drying rate.

**Keywords :** Effect of Vacuum, The Jackfruit drying, Infrared dryers

## 1. บทนำ

ขันนับเป็นผลไม้ที่นิยมบริโภค มีรสชาติดีหวาน กลิ่นหอม ในช่วงฤดูกาลที่ขันนับมีปริมาณมากเกิน ความต้องการของตลาดส่งผลขันนับมีราคาตกต่ำ การแปรรูปเป็นผลิตภัณฑ์ขันนับให้สามารถเก็บรักษา ให้เพื่อเพิ่มมูลค่าของผลิตภัณฑ์ โดยทั่วไปจะใช้วิธีการทำแห้ง เช่น การตากแดด การอบแห้งแบบ ลมร้อน การอบแห้งแบบเยือกแข็ง และการอบแห้งสูญญากาศ เป็นต้น โดยมีงานวิจัยที่เกี่ยวข้องกับ การแปรรูปขันนับ เช่น การอบแห้งโดยใช้รังสีอินฟราเรดและการอบแห้งด้วยพลังงานความร้อนร่วม ระหว่างรังสีอินฟราเรดกับลมร้อน คือ สามารถลดระยะเวลาในการอบแห้งและความสิ้นเปลือง พลังงานจำเพาะที่ใช้ในการอบแห้ง โดยที่ยังคงรักษาคุณภาพสีของผลิตภัณฑ์ขันนับและความยอมรับ ในการบริโภคของขันนับของผู้บริโภคได้เป็นอย่างดี (Supawan, T., 2011) และการอบแห้งโดยใช้รังสี อินฟราเรดร่วมกับระบบสูญญากาศ ซึ่งเป็นรูปแบบหนึ่งของการอบแห้งที่มีประสิทธิภาพ และยังสามารถลดระยะเวลาในการอบแห้งผลิตภัณฑ์ได้ โดยอาจมีอัตราการสิ้นเปลืองพลังงานที่สูง กว่าการอบแห้งด้วยพลังงานแสงอาทิตย์ ซึ่งมีความสิ้นเปลืองต่ำ แต่คุณภาพของผลิตภัณฑ์ต่ำเมื่อการ ปนเปื้อนสูง ใช้เวลาในการอบแห้งนาน และอุณหภูมิอบแห้งไม่สม่ำเสมอ โดยการอบแห้ง แบบสูญญากาศ เป็นที่ต้องการของอุตสาหกรรมการอบแห้ง (Junlakan, W., 2017) การอบแห้งด้วย รังสีอินฟราเรด ค่าสัมประสิทธิ์การแพร่ความชื้นประสิทธิผลจะมีค่าเพิ่มขึ้นตามอุณหภูมิอบแห้ง (Jutarut, T., 2014) ซึ่งการอบแห้งขันนับโดยใช้รังสีอินฟราเรดร่วมกับระบบสูญญากาศ เป็นการให้ ขันนับรับรังสีความร้อนโดยตรงส่งผลให้น้ำในเนื้อขันนับระเหยได้เร็ว (Tirawanichakul, S., 2014)

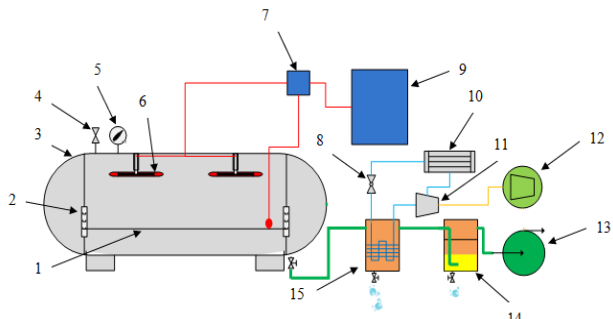
ส่วนระบบสัญญาการสามารถช่วยลดจุดเดือดของน้ำในเนื้อขุน และส่งผลให้มีอัตราความชื้นลดลงมากกว่า (Nuthong, P., 2014) เมื่อเทียบกับการอบที่สภาวะความดันบรรยายกาศ ณ อุณหภูมิเดียวกัน จากการวิจัยการอบแห้งด้วยเทคนิคสัญญาการร่วมกับอินฟราเรด (Sa-Adchom, P., 2014) พบร่วมกับเมื่อลดความดันสัมบูรณ์หรือเพิ่มอุณหภูมิอบแห้งจะทำให้อัตราการอบแห้งเพิ่มขึ้น ในขณะที่ความสินเปลือยพลังงานจำเพาะลดลง จากการศึกษาการวิเคราะห์คุณสมบัติทางความร้อนของเครื่องอบแห้งอินฟราเรดร่วมกับลมร้อน พบร่วมกับอัตราการอบแห้งมีค่าแปรผันตรงกับกำลังของหลอดอินฟราเรด

## 2. วัตถุประสงค์ของการวิจัย

เพื่อศึกษาหาอัตราการแห้งตัวของเนื้อขุน ที่สภาวะเหมาะสม ที่ความดันสัมบูรณ์ อุณหภูมิ และระยะห่างระหว่างหลอดอินฟราเรดกับถาดวัสดุ โดยเครื่องอบแห้งอินฟราเรดระบบสัญญาการ

## 3. วิธีดำเนินการวิจัย

การศึกษาวิจัยนี้ได้ใช้เครื่องอบแห้งอินฟราเรดระบบสัญญาการที่มีชุดดักน้ำด้วยน้ำมัน และชุดดักน้ำด้วยระบบทำความเย็น เพื่อลดอุณหภูมิและความชื้นที่ปั้นกับลมร้อนซึ่งส่งผลให้เกิดความเสียหายกับระบบสัญญาการ ห้องอบทรงแคปซูลวางแผนตัวในแนวอนขนาดเส้นผ่านศูนย์กลาง 0.51 m ยาว 0.8 m หนา 0.005 m ติดตั้งฮีตเตอร์อินฟาร์เดดแบบแผ่นยีห้อ Infara รุ่น aseries ขนาด 60×245 mm ขนาด 220 Volt 250 W จำนวน 2 หลอด ชุดดักน้ำด้วยระบบทำความเย็นขนาด 0.252 kW ชุดดักน้ำด้วยน้ำมันขนาดเส้นผ่านศูนย์กลาง 0.1 mx0.27m ชุดทำสัญญาการขนาด 13.416 m<sup>3</sup>/hr ซึ่งประกอบด้วยคอมเพรสเซอร์ mitsubishi รุ่นcr2211l-a จำนวน 2 ตัว ต่อแบบอนุกรม มีมอเตอร์ขนาด 2 HP 1450 rpm เป็นตันกำลัง บันทึกข้อมูลโดย เครื่องชั่งน้ำหนักยี่ห้อ Azano รุ่น LVC-50 ช่วงการชั่งน้ำหนัก 0.001-600 kgf ความละเอียด 0.001 kgf อุปกรณ์วัดความดันสัญญาการ ยี่ห้อTK ช่วงการวัด 0 ถึง-76 cm.Hg ชุดควบคุมอุณหภูมิ เครื่องวัดอุณหภูมิ ยี่ห้อDIGICON รุ่นMD-700N ใช้กับสายเทอร์โมคัปเปล Type K ความละเอียด 0.1 °C และเครื่องวัดการใช้กระแสไฟฟ้า ยี่ห้อ HOLLEY ช่วงการวัด 0.1 ถึง 1,000 kW-h ความละเอียด 0.1 kW-h รายละเอียดแสดงดังภาพที่ 1



- |                            |                        |                                 |
|----------------------------|------------------------|---------------------------------|
| 1 ตะแกรงผลิตภัณฑ์          | 6 หลอดอินฟราเรด        | 11 เครื่องอัดไอ                 |
| 2 ตัวปรับระดับหางของตะแกรง | 7 ชุดควบคุมอุณหภูมิ    | 12 ชุดตันกำลัง                  |
| 3 ถังอบแห้งสูญญากาศ        | 8 วาร์ล์ลดความดัน      | 13 เครื่องทำสูญญากาศ            |
| 4 วาล์วอากาศ               | 9 หน่วยควบคุมและแสดงผล | 14 ชุดดักน้ำด้วยไนโตรเจน        |
| 5 มาตรวัดความดัน           | 10 เครื่องควบแน่น      | 15 ชุดดักน้ำด้วยชุดห่อคอยล์เย็น |

ภาพที่ 1 ส่วนประกอบเครื่องอบแห้งอินฟราเรดระบบสูญญากาศ

การวิจัยทดสอบอบแห้งเนื้อขุนน เพื่อศึกษาผลของความดันสัมบูรณ์ และอุณหภูมิที่ใช้การอบแห้งเนื้อขุนนโดยเครื่องอบแห้งอินฟราเรดระบบสูญญากาศ วัสดุอบแห้งใช้เนื้อขุนความหนา 3 mm จำนวน 2 kg ที่ความชื้นเริ่มต้น 350-400 %<sub>db</sub>. ทำการอบแห้งที่อุณหภูมิ 50 55 และ 60 °C ทำการปรับเปลี่ยนความดันสัมบูรณ์ 1 5 10 และ 15 kPa และทำการปรับเปลี่ยนระยะเวลา หลอดอีตเตอร์อินฟราเรดกับชั้นวางขุน 12 15 และ 18 cm อบแห้งจนเหลือความชื้นสุดท้ายมีค่าไม่เกิน 19 %<sub>db</sub> ซึ่งช่วงการทดลองทำการบันทึกข้อมูลน้ำหนักขุนและอุณหภูมิในห้องอบแห้งต่อช่วงเวลา



ภาพที่ 2 เครื่องอบแห้งอินฟราเรดระบบสูญญากาศ กรณีศึกษาการอบเนื้อขุน

สำหรับการทดลองการอบแห้งเนื้อขุนโดยเครื่องอบแห้งอินฟราเรดระบบสูญญากาศ สามารถแสดงค่าอัตราส่วนความชื้น อัตราการอบแห้ง และการสิ้นเปลืองพลังงานจำเพาะ เพื่อวิเคราะห์ผลความดันสูญญากาศ ระยะห่างระหว่างหลอดอินฟราเรดกับถาดวัสดุ และอุณหภูมิ

ที่เหมาะสมในการใช้อบแห้งเนื้อขุน โดยค่าอัตราส่วนความชื้นวัสดุ (Moisture Ratio; MR) (Soponronnarit, S., 1997) สามารถหาได้ดังสมการต่อไปนี้

$$MR = \frac{M_t - M_{eq}}{M_i - M_{eq}} \quad (1)$$

เมื่อ  $M_t$  คือ ความชื้นที่เวลาใด ๆ ของวัสดุ (%<sub>drybasis</sub>)  
 $M_i$  คือ ความชื้นเริ่มต้นของวัสดุ (%<sub>drybasis</sub>)  
 $M_{eq}$  คือ ความชื้นสมดุลของวัสดุ (%<sub>drybasis</sub>)

เนื่องจากการอบแห้งด้วยอินฟราเรดระบบสูญญากาศวัสดุมีความชื้นสมดุลที่ต่ำมาก การคำนวณค่าอัตราส่วนความชื้น (MR) ในงานวิจัยนี้เป็นการคำนวณค่าโดยประมาณ คือ ไม่คิดค่าความชื้นสมดุล โดยตั้งสมมติฐานว่าความชื้นสมดุล มีค่าน้อยมาก เมื่อเทียบกับค่าความชื้นเริ่มต้น จึงกำหนดให้  $M_{eq} = 0$  ดังนั้นค่าอัตราส่วนความชื้น (Soponronnarit, S., 1997) สามารถลดรูปได้ดังสมการ

$$MR = \frac{M_t}{M_i} \quad (2)$$

อัตราการอบแห้ง (Drying Rate: DR) คืออัตราส่วนของการเปลี่ยนแปลงความชื้นในวัสดุ อบแห้งต่อเวลาในหน่วย kg/hr สามารถหาได้ดังสมการ

$$DR = \frac{m_d(M_i - M_f)}{t} \quad (3)$$

เมื่อ  $m_d$  คือ มวลของวัสดุแห้งไร้ความชื้น (kg)  
 $M_f$  คือ ความชื้นสุดท้ายของวัสดุ (%<sub>drybasis</sub>)  
 $t$  คือ เวลา (hr)

การสิ้นเปลืองพลังงานจำเพาะ (Specific Energy Consumption: SEC) คือพลังงานรวมที่ใช้ในการอบแห้งต่อหนึ่งหน่วยมวลความชื้นของวัสดุอบแห้งในหน่วย MJ/kg<sub>water</sub> สามารถหาได้ดังสมการ

$$SEC = \frac{(E_{infra} + E_{vac} + E_{dryer})}{m_w} \quad (4)$$

เมื่อ  $E_{infra}$  คือ พลังงานที่ใช้กับหลอดอินฟราเรด (kWh)

$E_{vac}$  คือ พลังงานที่ใช้กับเครื่องทำสุญญากาศ (kWh)

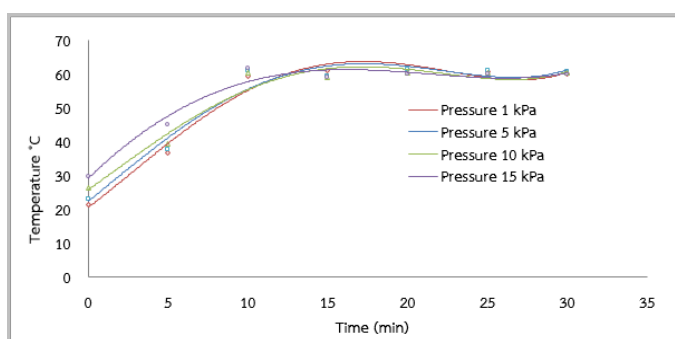
$E_{dryer}$  คือ พลังงานที่ใช้ของชุดตากน้ำ (kWh)

$m_w$  คือ มวลของน้ำที่ระเหยจากวัสดุ (kg)

#### 4. ผลการวิจัยและอภิปรายผลการวิจัย

จากการวิจัยได้ดำเนินการวิจัยที่ได้กล่าวมาข้างต้น ทดสอบโดยใช้เนื้อขันนูนจำนวน 2 kg ที่ความชื้นเริ่มต้น 350 - 400%db. ทำการอบแห้งที่อุณหภูมิ 50 55 และ 60 °C ทำการปรับเปลี่ยนความดันสัมบูรณ์ 1 5 10 และ 15 kPa และทำการปรับเปลี่ยนระยะห่างระหว่างหลอดอีตเตอร์อินฟราเรด กับชั้นวางขันนูน 12 15 และ 18 cm อบแห้งจนเหลือความชื้นสุดท้ายมีค่าไม่เกิน 19%db

##### 4.1 ผลของอุณหภูมิของห้องอบแห้ง ที่ความดันสัมบูรณ์ต่าง ๆ

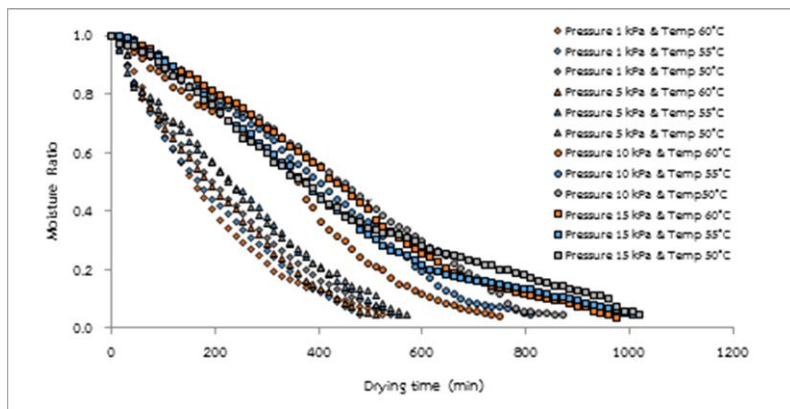


ภาพที่ 3 ความสัมพันธ์ของอุณหภูมิของห้องอบแห้งในฟาราเดรกระบวนการสุญญากาศ ที่สภาวะความดันสัมบูรณ์ 1, 5, 10 และ 15 kPa

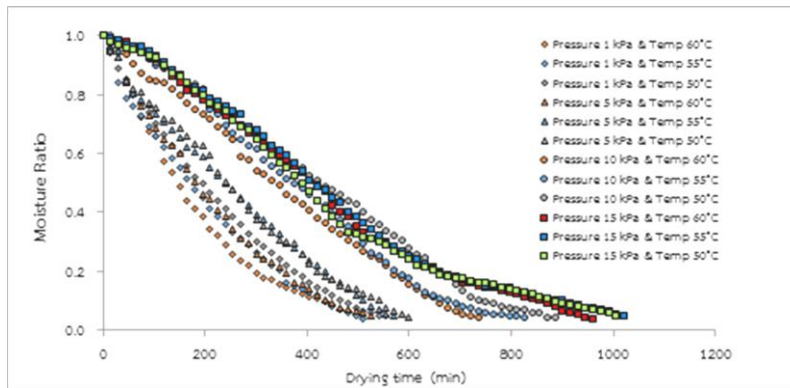
ภาพที่ 3 แสดงความสัมพันธ์ของอุณหภูมิของห้องอบแห้ง ที่สภาวะเริ่มต้นก่อนให้ความร้อน พบร่วมกับห้องอบที่ความดันสัมบูรณ์ต่ำ จะมีอุณหภูมิเริ่มต้นที่ต่ำกว่า ซึ่งเป็นผลจากที่สภาวะความดันต่ำ อุณหภูมิจะต่ำ โดยเริ่มให้ความร้อนที่อุณหภูมิเริ่มต้นอยู่ในช่วง 22- 30 °C พบร่วมกับ 10 นาทีแรก จะมีอัตราการทำความร้อนเพิ่มขึ้นอย่างคงที่ หลังจากนั้นจะพบว่าที่ในช่วง 12 - 15 นาที ที่ความดันสัมบูรณ์ต่ำ สามารถเพิ่มอุณหภูมิภายในห้องอบได้สูงกว่าความดันสัมบูรณ์สูง เนื่องจากที่สภาวะความดันต่ำหรือความดันสัมบูรณ์สูงจะมีอุณหภูมิที่ต่ำกว่าความดันสัมบูรณ์ต่ำ จึงทำให้ความร้อนในห้องอบสูงกว่า จากนั้นในแต่ละความดันสัมบูรณ์ ค่าการเพิ่มขึ้นของอุณหภูมิจะมีค่าที่ไม่แตกต่างกันมากนัก เนื่องจากถูกควบคุมโดยชุดควบคุมอุณหภูมิ

##### 4.2 ผลของการเปลี่ยนแปลงความชื้นของเนื้อขันนูน ที่ระยะห่าง และความดันสัมบูรณ์ต่าง ๆ

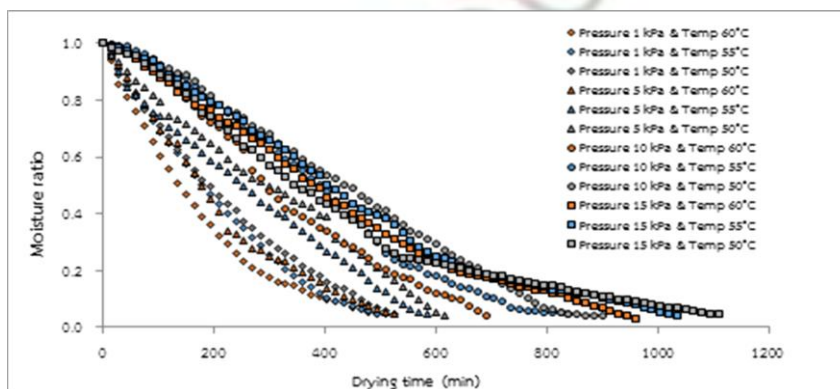
ผลของการเปลี่ยนแปลงความชื้นของเนื้อขันนูน ที่ระยะห่าง และความดันสัมบูรณ์ ดังภาพที่ 4 5 และ 6



ภาพที่ 4 ความสัมพันธ์ของการเปลี่ยนแปลงความชื้นของเนื้อข้น ที่ระยะห่าง 12 cm



ภาพที่ 5 ความสัมพันธ์ของการเปลี่ยนแปลงความชื้นของเนื้อข้น ที่ระยะห่าง 15 cm



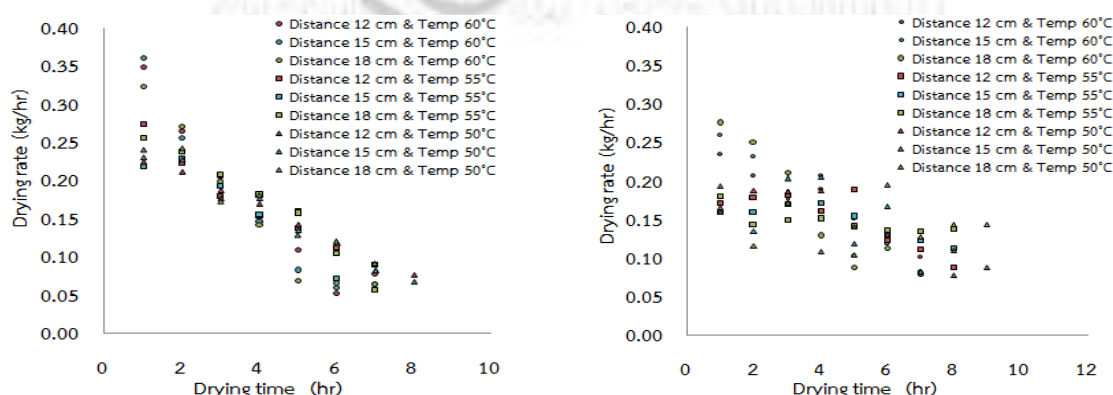
ภาพที่ 6 ความสัมพันธ์ของการเปลี่ยนแปลงความชื้นของเนื้อข้น ที่ระยะห่าง 18 cm

จากภาพที่ 4 5 และ 6 โดยเมื่อพิจารณาที่ของระยะห่างระหว่างหลอดอินฟราเรดกับถาดวัสดุ ที่ 12 15 และ 18 cm ที่สภาวะความดันสัมบูรณ์ 1 5 10 และ 15 kPa และอุณหภูมิที่ใช้การอบแห้ง 60 55 50 พบร่วมกับที่สภาวะเหมาะสมการอบแห้งเนื้อข้น ที่ระยะห่าง 12 cm ที่ความดันสุญญากาศ 1 kPa อุณหภูมิ 60°C ใช้ระยะเวลาในการอบน้อยที่สุด 480 นาที ซึ่งสามารถอบแห้งจนเหลือความชื้น สุดท้ายมีค่าไม้เกิน 19 %db ใช้เวลาอยู่ที่สุด ดังตารางที่ 1

ตารางที่ 1 ผลของความสัมพันธ์ของระยะห่างระหว่างหลอดอินฟราเรดกับ\data วัสดุ ที่สภาวะความดัน สูญญากาศ และอุณหภูมิที่ใช้การอบแห้ง ที่มีผลต่อเวลาการอบแห้งเนื้อขنุน

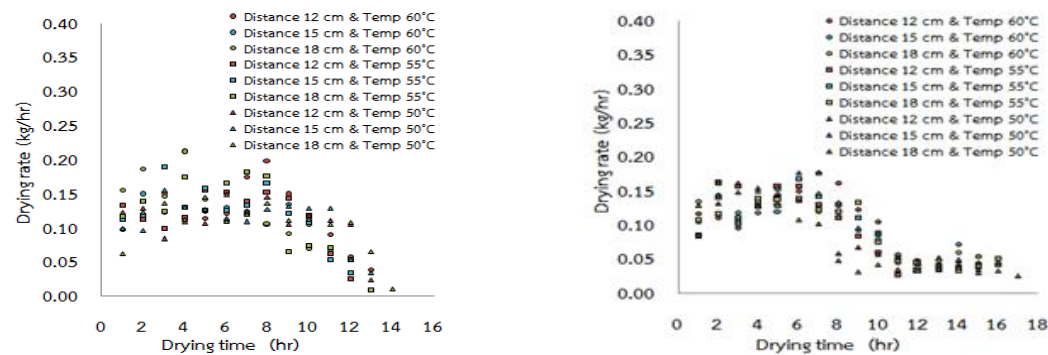
Distance (mm)	absolute pressure (kpa)	Drying time (min) temperature		
		50 °C	55 °C	60 °C
12	1	540	525	480
	5	570	555	510
	10	870	810	750
	15	1020	1005	975
15	1	555	525	510
	5	600	570	525
	10	885	825	735
	15	1020	1005	960
18	1	525	510	495
	5	615	585	525
	10	900	840	690
	15	1100	1035	960

#### 4.3 ผลของความสัมพันธ์ของความดันสัมบูรณ์ ที่มีต่ออัตราการอบแห้ง



A.ความสัมพันธ์ของอัตราการอบแห้ง ที่ความดัน 1 kPa

B.ความสัมพันธ์ของอัตราการอบแห้ง ที่ความดัน 5 kPa



C. ความสัมพันธ์ของอัตราการอบแห้ง ที่ความดัน 10 kPa      D. ความสัมพันธ์ของอัตราการอบแห้งที่ความดัน 15 kPa  
ภาพที่ 7 ความสัมพันธ์ของการเปลี่ยนแปลงอัตราการอบแห้ง ที่ สภาวะความดันสัมบูรณ์ 1 - 15 kPa

จากภาพที่ 7 แสดงผลของอัตราการอบแห้งที่สภาวะความดันสัมบูรณ์ 1 - 15 ที่ระยะห่างระหว่างหลอดอินฟราเรดกับถาดวัสดุที่ 12 - 18 cm อุณหภูมิที่ใช้การอบแห้ง 50 - 60 พบร่วมที่ความดันสัมบูรณ์ 1 kPa มีอัตราการอบแห้งสูงกว่าทุก ๆ ความดันสัมบูรณ์กล่าวคือการลดความดันสัมบูรณ์หรือเพิ่มอุณหภูมิอบแห้งจะทำให้อัตราการอบแห้งเพิ่มขึ้น และพบว่าอุณหภูมิที่อบแห้งที่สูงมีผลทำให้อัตราการอบแห้ง โดยที่อุณหภูมิที่อบแห้งที่ 60 °C อัตราการอบแห้งสูงที่สุด ดังตารางที่ 2

ตารางที่ 2 ผลของความสัมพันธ์ของสภาวะความดันสัมบูรณ์ ระยะห่างระหว่างหลอดอินฟราเรด กับถาดวัสดุ และอุณหภูมิที่ใช้การอบแห้ง ที่มีผลต่ออัตราการอบแห้งเนื้อขنุน

absolute pressure (kPa)	Distance (mm)	Drying Rate <sub>ave</sub> (kg/hr)		
		temperature		
		50 °C	55 °C	60 °C
1	12	0.151	0.168	0.172
	15	0.149	0.163	0.168
	18	0.147	0.151	0.162
5	12	0.148	0.150	0.169
	15	0.144	0.147	0.168
	18	0.142	0.145	0.163
10	12	0.118	0.126	0.128
	15	0.111	0.121	0.125
	18	0.104	0.114	0.122
15	12	0.090	0.094	0.106
	15	0.089	0.092	0.099

จากการประเมินและการวิเคราะห์ เวลาในการอบแห้งสั้น และอัตราการอบแห้งเฉลี่ยยังไม่สามารถ ระบุสภาวะเหมาะสมการอบแห้งเนื้อขنุนได้ เพราะยังต้องพิจารณาปัจจัยของคุณภาพและความสัมภัย เช่น ความชื้นเปลี่ยนพลังงานมาประกอบ ดังตารางที่ 3 และภาพที่ 8 จึงสามารถสรุปได้ว่าสภาวะเหมาะสมสมการอบแห้งเนื้อขนุนที่ความดันสุญญากาศ  $1 \text{ kPa}$  อุณหภูมิ  $60^\circ\text{C}$  ที่ระยะห่าง  $12 \text{ cm}$  พบว่าค่าความสัมภัยเปลี่ยนพลังงานจำเพาะของการอบแห้งที่ความดัน  $1 \text{ kPa}$  มีค่าน้อยที่สุด ทั้งนี้เนื่องจากที่ภาวะความดันต่ำมีผลทำให้น้ำในผลิตภัณฑ์สามารถระเหยได้ที่อุณหภูมิต่ำทำให้ใช้เวลาอบแห้งน้อยลง ซึ่งสามารถสรุปได้ว่าการเปลี่ยนแปลงค่าความดันสุญญากาศและอุณหภูมิอบแห้งส่งผลต่อความสัมภัยเปลี่ยนพลังงานจำเพาะอย่างมีนัยยะ โดยทำให้มีค่าความสัมภัยเปลี่ยนพลังงานจำเพาะจะลดลง เมื่อลดค่าความดันสมบูรณ์หรือทำการเพิ่มอุณหภูมิอบแห้ง

**ตารางที่ 3 ความสัมพันธ์ของอัตราการอบแห้งที่สภาวะความดันสุญญากาศ  $1 - 15 \text{ kPa}$  ที่มีผลต่อ ความสัมภัยเปลี่ยนพลังงานจำเพาะของการอบแห้งเนื้อขนุน**

Condition	Absolute pressure (kPa)			
	1	5	10	15
Average drying time (min)	480	510	750	975
Average drying Rate (kg/hr)	0.172	0.169	0.128	0.106
Average SEC (MJ/kg <sub>water</sub> )	21.67	24.56	28.94	31.66



ก่อนการอบแห้ง



หลังจากการอบแห้ง

**ภาพที่ 8 แสดงการอบแห้งเนื้อขนุนโดยเครื่องอบแห้งอินฟราเรดระบบสุญญากาศ**

## 5. สรุปผลการวิจัย

การหาอัตราการอบแห้งตัวของขนุน โดยเครื่องอบแห้งอินฟราเรดระบบสุญญากาศ ผลการศึกษาพบว่าสภาวะที่เหมาะสมการอบแห้งเนื้อขนุน คือ อุณหภูมิอบแห้งที่  $60^\circ\text{C}$  ความดัน  $1 \text{ kPa}$  ระยะห่างของชั้นต่ำสุด  $12 \text{ cm}$  ซึ่งใช้เวลาในการอบแห้งน้อยที่สุด

480 นาที สิ้นเปลืองพลังงานจำเพาะต่ำที่สุด  $21.67 \text{ MJ/kg}$  และอัตราการอบแห้งที่สูงที่สุด  $0.172 \text{ kg/hr}$  เนื่องจากการทำสูญญากาศที่ความดันต่ำ สามารถลดอุณหภูมิจุดเดือดของน้ำภายในเนื้อขันนุน และระยะเวลาแห้งของอีตเตอร์อินฟราเรดกับวัสดุที่ใกล้กับเนื้อขันนุน มีค่าพลังงานต่อหน่วยพื้นที่หลอด อีตเตอร์อินฟราเรดที่สูงกว่า มีผลทำให้ความสิ้นเปลืองพลังงานจำเพาะลดลง อัตราการอบแห้งเพิ่มขึ้น

## 6. กิตติกรรมประกาศ

ขอขอบพระคุณมหาวิทยาลัยเทคโนโลยีราชมงคลล้านนา เชียงใหม่ ที่ได้สนับสนุนทุนโครงการงานวิจัย และขอขอบคุณ นายชนินทร์ เพ็งอก นายณัฐพงศ์ บุญยัง และนายปรีร์ เจียมกุล กลุ่มผู้ช่วยวิจัย และสาขาวิชาระบบทรีดองกล คณะวิศวกรรมศาสตร์ มหาวิทยาลัยเทคโนโลยีราชมงคลล้านนา เชียงใหม่ ที่เอื้อเฟื้อสถานที่ และอุปกรณ์ สำหรับงานวิจัยนี้

## 7. เอกสารอ้างอิง

- Junlakan, W., Tirawanichakul, S., & Yamsaengsung, R. (2017). Effects of vacuum drying on structural changes of bananas, pineapples, and apples. *Journal of Food Engineering*, 106(4), 298-305. (in Thai)
- Jutarut, T., Supawan, T., Yutthana, T., (2014). Strategic Development of Crisp Tiny Anchovy Using Hot Air and Infrared Drying. *Burapha Scince Journal*, 106(4), 3-10. (in Thai)
- Nuthong, P., Dijkanarukkul, P., Ratchatawan Am-Oht1,R. (2014). Thermal Properties Analyses of Combined Infrared and Hot Air Dryer. *UBU Engineering Journal*, 7(2), 73-81. (in Thai)
- Tirawanichakul, S., Lamaepae, S., and Tirawanichakul, Y. (2014). Combined infrared /microwave and hot air drying for jackfruit: Kinetics, quality and sensory analysis. *Burapha Scince Journal*, 17(2), 117-129. (in Thai)
- Sa-Adchom, P. and Swasdisevi,T.( 2014). Pork Slices Drying Using a Combined Vacuum and Far-Infrared Radiation Technique. *Industrial Technology Lampang Rajabhat University Journal*, 7(1), 83-97. (in Thai)
- Supawan, T., Jutarut T., Chaler P., Ratchaneekorn N., Yutthana T., (2011). Effect of Drying Condition on Kinetic and Quality of Jackfruit Drying. *Thaksin University Journal*, 23(4), 83-91. (in Thai)
- Soponronnarit, S., (1997). *Drying of seeds and certain foods*. Bangkok : King Mongkut's University of Technology Thonburi. (in Thai)